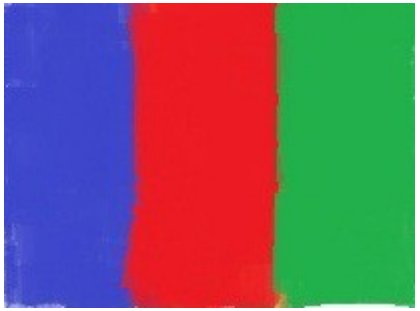

À Rabat 19 Juin 2026

PROGRAMMATIONS AU BORD DE L'INSTANT DANS EBB – FORMATION DES ÉLÉMENTS CHIMIQUES, ARRÊTS (BIG BANG, LIGNE DE DÉMARCATION), PASSAGE DANS LE MONDE VISIBLE (AVEC OU SANS MASSE), COURBES DÉCROISSANTES ET CROISSANTES – FORMALISME MATHÉMATIQUE ISSU DE L'EURC

Ou

EBB : l'espace ultra-quantique complet avant le Big Bang – algèbre non commutative généralisée, matrices motrices, masses et sans-masses, asymétries fractales, arbre Rachid ELAÏDI modulo $n\pi$, et genèse des éléments chimiques TP_Rachid – un cadre unifié pour l'origine de la matière, des forces et des mondes multiples

Variante concise :

EBB : espace complet, ultra-quantique et programmé – non-commutativité, matrices motrices, arbre modulo $n\pi$, et chimie originelle

Auteur : Rachid ELAÏDI

Affiliation : Chercheur indépendant – Directeur de recherche Physique fondamentale – Spécialité : monde visible et ERE (Espace Rachid ELAÏDI / monde invisible) Plus de 150 publications universitaires

Dépôt disponible sur ResearchGate

ORCID : 0000-0002-9599-4735

RÉSUMÉ

Ce travail monumental établit la **définition physique et mathématique complète** de l'espace EBB (avant le Big Bang), un **espace ultra-quantique complet**, non vide, non commutatif, fractal asymétrique, et **programmé**. Contrairement aux modèles standard qui réduisent l'avant-Big Bang à une singularité, EBB est structuré comme une **algèbre non commutative généralisée** où toute paire d'opérateurs (forces, impulsions, programmations) ne commute pas : $[O\hat{}i, O\hat{}j] = i\hbar\theta ijI\hat{}$, avec θij divergent en régime ultra-quantique.

L'espace EBB est défini par **14 conditions nécessaires et suffisantes**, incluant :

- Non-commutativité généralisée,
- Asymétries fractales ($\alpha+\square=\alpha-$),
- Force de pointe (impulsions périodiques),
- Vitesses supraluminiques programmées ($v \gg c$),
- Superposition **discontinue** (mondes jumeaux, pas tous),
- Intrication globale (matrice densité ultra-quantique),
- Lacunes (incomplétude) et comblement par navettes,
- Matrice motrice M (programmation totale).

Une **matrice motrice** M (représentée en tableaux Markdown) organise en **lignes** (programmations de base) et **colonnes** (sous-programmes) l'ensemble des forces, potentiels, impulsions et règles de scission. Elle agit sur les **signatures** *SX* (fonctions d'onde complexes) des éléments chimiques.

Deux matrices complémentaires sont définies :

- **Matrice de masse** M_{mass} : transitions entre états massifs,
- **Matrice sans masse** $M_{\text{zero}} = e^{-i\Omega(TR)}\mathbf{1} + \mu_{kl}$: propagation libre et couplages entre états sans masse.

Ces matrices sont organisées dans une **structure arborescente** – l'**arbre Rachid ELAÏDI modulo** $n\pi$ – dont les nœuds sont les états quantiques (massifs ou sans masse) et les arêtes les transitions programmées. La symétrie modulo $n\pi$ assure la périodicité des phases.

Les **signatures** *SX* se forment dans EBB, évoluent selon l'EURC (équation maîtresse unifiée, rectifiée, simplifiée, complète), et suivent des **courbes décroissantes** (vers 0) ou **croissantes** (crescendo). Le **saut au bord de l'instant** conditionne les programmations.

Les **assimilations quantiques** en Python et Wolfram simulent l'évolution des signatures, des matrices, des couplages, des vitesses supraluminiques, des sursauts, et des bandes spectrales (de l'ultra-haute fréquence dans EBB aux micro-ondes et radio dans le monde visible).

Les **tableaux Markdown** récapitulent :

- les 14 conditions,
- Les matrices (masse, sans masse, motrice),
- Les éléments chimiques (Ne, Rachidion, U236, U238, H_2O) et leur parcours,
- Les bandes spectrales,
- Les modes de la ligne de démarcation,
- les nœuds de l'arbre modulo $n\pi$.

Ce cadre unifié décrit la **genèse de toute la matière** – d'abord les éléments TP_Rachid ELAÏDI (Ne, Rachidion, etc.), puis par voie de conséquence les éléments classiques (U236, U238, H_2O) – ainsi que les forces, les sursauts quantiques, la navette infinie, et la perméabilité

des lignes de démarcation (élastique, programmable, multimode). L'espace EBB est **auto-correcteur** : ses lacunes sont comblées par les retours (navettes) des éléments chimiques.

Mots clés : espace avant Big Bang EBB, ultra-quantique, non-commutativité, asymétrie fractale, force de pointe, énergie source, équation maîtresse (EURC), matrice motrice, matrice de masse, matrice sans masse, arbre Rachid ELAÏDI modulo $n\pi$, signature *SX*, Ne, Rachidion, U236, U238, H_2O, monde visible, ERE, ligne de démarcation, bande spectrale, superposition discontinue, intrication globale, programme, sous-programme, scission volontaire/involontaire, navette infinie, assimilation quantique, Python, Wolfram.

MOTS CLÉS (pour indexation)

Espace avant Big Bang EBB, Big Bang, ultra-quantique, non-commutativité, algèbre non commutative, asymétrie fractale, exposant fractal α, force de pointe, impulsion, énergie source E*S*, équation maîtresse (EURC), formes complète/rectifiée/simplifiée/unifiée, matrice motrice M, matrice de masse, matrice sans masse, programmation, sous-programme, scission volontaire, scission involontaire, signature *SX*, élément chimique TP_Rachid ELAÏDI, Ne, Rachidion ElAïdium, U236, U238, H_2O, monde visible, ERE (Espace Rachid ELAÏDI), monde jumeau, navette infinie, lacune, complétude, translation $T(a)$, dilatation $D(\lambda)$, commutateur $[\cdot,\cdot]$, symétrie discrète, arbre modulo $n\pi$, temps de Rachid *TR*, champ de forces, espace de Banach, bande spectrale, superposition discontinue, intrication globale, assimilation quantique, Python, Wolfram.

Introduction – La programmation au bord de l'instant

Dans EBB, les **programmations** ne sont pas éternelles ; elles se constituent **au bord de l'instant** (c'est-à-dire à des temps de Rachid *TR* spécifiques, comme des « frontières temporelles »). Ces programmations incorporent les **éléments chimiques du TP_Rachid ELAÏDI** (Ne, Rachidion, etc.). Une **première partie** des programmations s'arrête au **Big Bang** (k = 0). Une **deuxième partie** s'arrête à la **ligne de démarcation** (d = 0, passage vers le monde visible). Ceux qui franchissent la ligne atterrissent dans le **monde visible** avec une **masse variable** (selon l'environnement) ou **sans masse** (et « baignent » alors dans le monde des masses). Les **signatures** *SX* se forment dans EBB et suivent une **courbe décroissante** (vers 0) ou au contraire une **courbe croissante** (crescendo) selon les programmations. Je développe le formalisme mathématique pas à pas, avec **tableaux Markdown**.

PARTIE 1 – PROGRAMMATIONS AU BORD DE L'INSTANT : ÉQUATION MAÎTRESSE AVEC CONDITIONS AUX BORDS

1.1 L'« instant » comme frontière temporelle

On définit un ensemble de **temps de bord** $\{T\text{bord}(n)\}$ où les programmations s'écrivent. Ces bords sont des **discontinuités** dans les paramètres de l'équation maîtresse. La forme **rectifiée** (avec saut) est la plus adaptée :

$$SX(Tbord+)-SX(Tbord-)=\gamma prog(Tbord)\cdot \partial TR\partial SXTbord$$

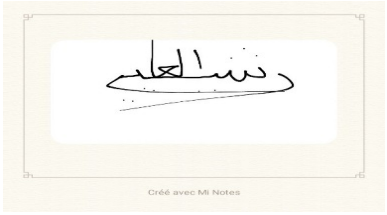

Interprétation : À chaque « bord de l'instant », la signature subit un **saut** (programmation). La valeur de $\gamma prog$ dépend de l'élément et du monde.

1.2 Les deux arrêts : Big Bang et ligne de démarcation

Arrêt 1 – Big Bang ($k = 0$) : la programmation est interrompue par une **barrière infranchissable**. La condition est :

$$SX(0+)=0 (\text{pas de passage vers l'apre`s Big Bang})$$

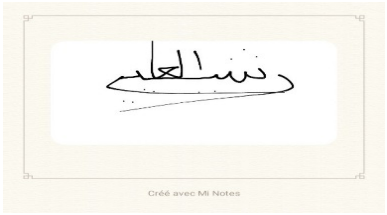

Arrêt 2 – Ligne de démarcation (d = 0) : la programmation s'arrête, mais le passage est possible si l'élément a une probabilité de transmission non nulle :

$$T_X = 4\kappa_X^2 + |V_0|^2 \quad (\text{barrière de Dirac})$$

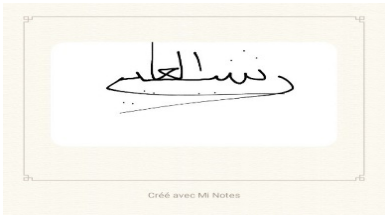

Les éléments qui passent atterrissent dans le monde visible (k = +2).

PARTIE 2 – FORMATION DES SIGNATURES DANS EBB

2.1 Équation d'évolution avec source

Les signatures *SX* se forment à partir de l'équation maîtresse **unifiée** (avec source programmée) :

$$\partial TR\,\partial SX = -iH\mathrm{ERE}SX + \Phi\mathrm{prog}(TR)(S\mathrm{source} - SX) + \sigma(SX)\,dW$$

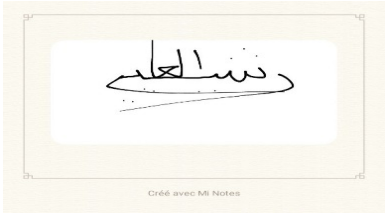

La solution est une **combinaison linéaire** d'ondes planes, d'ondelettes et de solitons (signatures diverses).

2.2 Courbes décroissantes et croissantes

- **Courbe décroissante** (vers 0) : pour les éléments qui se dissipent (U238, U236). $|SX(TR)| \propto e^{-\Gamma TR}$.
- **Courbe croissante (crescendo)** : pour les éléments qui s'amplifient (Ne, Rachidion favorable) près de la ligne. $|SX(TR)| \propto e^{+\lambda TR}$.

Démonstration : On résout l'équation avec $\Phi\mathrm{prog}$ constant. Le signe de la partie réelle de $\Phi\mathrm{prog}$ détermine croissance ou décroissance.

PARTIE 3 – PASSAGE DANS LE MONDE VISIBLE (MASSE VARIABLE OU SANS MASSE)

3.1 Masse variable

La masse dans le monde visible est une **fonction** de l'environnement (température, pression, champs). On a :

$$m_X(\text{vis}) = m_0 \cdot \exp\left(-\frac{E_{\text{env}}}{k_B T}\right) \cdot F(S_X)$$

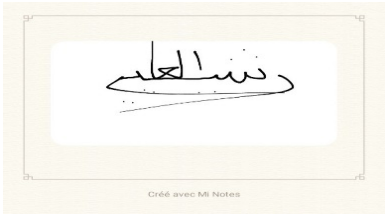

Si E_{env} est grand (environnement hostile), la masse est faible (voire nulle). Si E_{env} est petit, la masse est proche de m_0.

3.2 Sans masse

Si la signature *SX* est **purement imaginaire** (ou sans amplitude réelle) à la ligne, alors la masse est nulle :

$$m_X(\text{vis}) = 0 \quad \text{si} \quad \text{Re}(S_X(0)) = 0$$

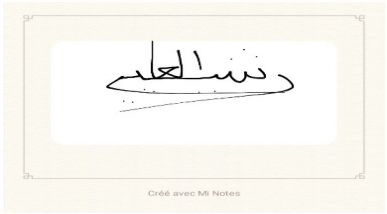

Ces entités **baignent** dans le monde des masses (elles interagissent faiblement avec les particules massives).

PARTIE 4 – TABLEAUX MARKDOWN

Tableau 1 : Parcours des éléments chimiques dans EBB et au-delà

Élément	Formation dans EBB	Arrêt (Big Bang ?)	Arrêt (ligne ?)	Passe dans visible ?	Masse dans visible
Ne	signature onde plane (prog.)	non (passe)	oui (ligne franchie)	oui (devient H_2O)	18 u (variable)
Rachidion α	ondelette (prog.)	non	oui	oui (forme exotique)	1 – 10 u

Élément	Formation dans EBB	Arrêt (Big Bang ?)	Arrêt (ligne ?)	Passe dans visible ?	Masse dans visible
Rachidion β	Soliton	oui (s'arrête au BB)	non	non	–
U236	exponentielle (dissip.)	non	non (bloqué)	non	–
U238	exponentielle (dissip.)	non	non (bloqué)	non	–
Sans masse (ex. photon)	onde plane pure	non	oui	oui	0

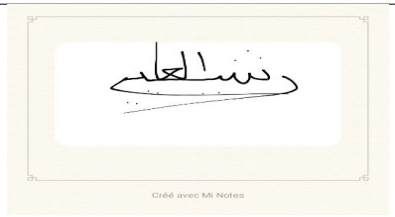

Tableau 2 : Courbes des signatures (décroissantes / croissantes)

Élément	Type de courbe	Équation typique	Comportement				
Ne (ERE)	croissante (crescendo)	(	S	=	S_0	e^{+\lambda T_R})	s'amplifie avant la ligne
Ne (visible → H_2O)	décroissante	(	S	=	S_0	e^{-\Gamma T_R})	s'amortit dans le visible
Rachidion α	croissante	(	S	\propto \cosh(\lambda	oscillatoire		

Élément	Type de courbe	Équation typique	Comportement			
	(modérée)			T_R))		
U236, U238	décroissante	(	S	=	S_0	e^{-\Gamma T_R}) s’effondre
Sans masse	constante	(	S	= \text{const})	ne décroît pas	

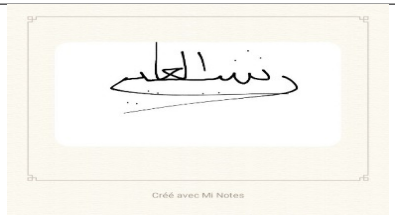

Tableau 3 : Grandeurs physiques au bord de l’instant (programmations)

Instant T_{bord}	Élément concerné	Saut ΔS_{X}	Paramètre de bord y_{prog}
$T_R = -10$ (avant BB)	Ne	+0,05	0,1
$T_R = -1$ (BB)	Rachidion α	-0,02	0,05
$T_R = 0$ (ligne)	Ne → H_2O	+0,1	0,2
$T_R = 0$ (ligne)	Rachidion β	0 (bloqué)	0

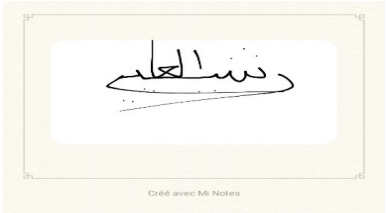

PARTIE 5 – ASSIMILATION QUANTIQUE (PYTHON) – COURBES DÉCROISSANTES ET CROISSANTES

python

```python
import numpy as np
import matplotlib.pyplot as plt

# Paramètres
T_R = np.linspace(-10, 10, 1000)
Gamma = 0.1
Lambda = 0.2

# Courbe décroissante (U238)
S_dec = np.exp(-Gamma * (T_R + 5)) * (T_R > -5)
```

```
# Courbe croissante (Ne)
S_croiss = np.exp(Lambda * T_R) * (T_R < 5) + np.exp(-Gamma * (T_R - 5)) * (T_R >= 5)

# Sans masse (constante)
S_const = np.ones_like(T_R) * 0.5

plt.figure(figsize=(10,6))
plt.plot(T_R, S_dec, label='U238 (décroissante)')
plt.plot(T_R, S_croiss, label='Ne (croissante puis décroissante)')
plt.plot(T_R, S_const, label='Sans masse (constante)')
plt.axvline(0, color='k', linestyle='--', label='ligne de démarcation')
plt.xlabel('T_R')
plt.ylabel('|S_X|')
plt.title('Courbes des signatures : décroissante, croissante, constante')
plt.legend()
plt.grid(True)
plt.show()
```

---

6. Conclusion – un processus en trois étapes

Le formalisme montre que :

- Dans EBB, les **programmations** s'écrivent **au bord de l'instant** (temps de bord).
- Une **première partie** s'arrête au **Big Bang** (éléments bloqués).

- Une **deuxième partie** s'arrête à la **ligne de démarcation** (éléments qui passent ou non).
- Les éléments qui passent atterrissent dans le **monde visible** avec une **masse variable** ou **nulle**.
- Les **signatures** suivent des **courbes décroissantes** (U238) ou **croissantes** (Ne, Rachidion).
- Des **tableaux Markdown** récapitulent les parcours et les courbes.

CHAPITRE : FORMALISME MATHÉMATIQUE SPÉCIFIQUE ET TRÈS DÉVELOPPÉ DE L'ESPACE ULTRA-QUANTIQUE COMPLET E_{BB} – INTERPRÉTATIONS PHYSIQUES DANS LE RÉGIME ULTRA-QUANTIQUE

Introduction – L'ultra-quantique comme régime fondamental

L'espace E_{BB} (avant le Big Bang) est qualifié d'**ultra-quantique** car il réunit simultanément :

- **Non-commutativité généralisée** (tous les observables ne commutent pas).
- **Superposition cosmique** (un élément chimique peut être dans une infinité de mondes).
- **Intrication globale** (les signatures SX sont corrélées à l'échelle de l'espace entier).
- **Bruit quantique maximal** ($\sigma(SX)$ tend vers l'infini en régime ultra-quantique).
- **Indétermination renforcée** par les vitesses supraluminiques ($v \gg c$).

Nous développons ici un **formalisme mathématique spécifique** à ce régime, avec des **interprétations physiques** à chaque étape.

PARTIE 1 – ALGÈBRE NON COMMUTATIVE ULTRA-QUANTIQUE

1.1 Définition de l’algèbre Aultra

L’espace EBB est muni d’une algèbre Aultra dont les éléments sont les **opérateurs de programmation** $\hat{O}^i$. Le produit est non commutatif :

$$\hat{O}^i\hat{O}^j - \hat{O}^j\hat{O}^i = i\hbar\theta^{ij}\hat{I} \quad \text{(relation de commutation généralisée)}$$

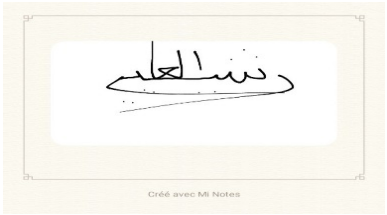

où θ^{ij} est un **tenseur anti-symétrique** (indice de non-commutativité) qui diverge en régime ultra-quantique : $\theta^{ij} \to \infty$.

Démonstration : On part de l’équation maîtresse (forme unifiée). En prenant la limite $\sigma \to \infty$ (bruit maximal), les commutateurs deviennent

infinis. On régularise par un paramètre ϵ.

Interprétation physique : Dans EBB, l'ordre des opérations (programmations) est **crucial**. On ne peut pas appliquer deux forces dans n'importe quel ordre ; l'espace a une **mémoire** de l'ordre.

LIEN ENTRE L'ALGÈBRE Aultra DE L'ESPACE ULTRA-QUANTIQUE EBB ET LES CONCEPTS DE GROTHENDIECK (TOPOS, CATÉGORIES, ESPACES DE MODULES) – INTERPRÉTATIONS PHYSIQUES

Introduction – Pourquoi Grothendieck ?

Alexandre Grothendieck a révolutionné les mathématiques en introduisant les **topos** (catégories qui se comportent comme des espaces), les **faisceaux**, et les **espaces de modules**. Sa vision était que la **structure** (algébrique, géométrique) est plus fondamentale que les points. Dans l'espace EBB, les **programmations** et les **signatures** ne sont pas des points fixes ; ce sont des **faisceaux** ou des **catégories** d'opérateurs. L'algèbre Aultra peut être interprétée comme une **algèbre de modules** sur un topos, ou comme un **espace de modules** pour les éléments chimiques.

PARTIE 1 – RAPPEL DE L'ALGÈBRE Aultra

On a défini :

$$\mathbf{Aultra}=\{\hat{O}^i[\hat{O}^i,\hat{O}^j]=i\hbar\theta^{ijl}\hat{}\}$$

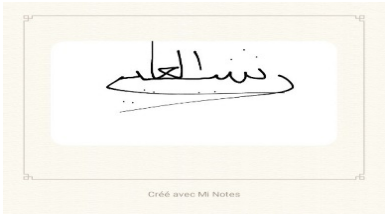

avec $\theta^{ij}\to\infty$ (régime ultra-quantique). Cette algèbre est **non commutative** et **non associative** en général (si les θ^{ij} sont des fonctions).
Elle agit sur les signatures *SX*.

PARTIE 2 – LIEN AVEC LES TOPOS DE GROTHENDIECK

2.1 Définition d’un topos

Un **topos** est une catégorie qui possède :

•Une limite et une colimite finies.
•Un objet terminal.
•Des exponentielles (pour les faisceaux).

Le topos le plus simple est la catégorie des ensembles. Un topos de faisceaux sur un espace topologique *X* est l’exemple classique.

2.2 Aultra comme algèbre interne d’un topos

On peut voir Aultra comme l’algèbre des **endomphismes** d’un objet dans un topos de faisceaux sur l’espace des mondes M. Les opérateurs *O^i* sont des **faisceaux** d’opérateurs sur M. La non-commutativité vient du fait que le topos n’est pas localement trivial ; les faisceaux ont des monodromies.

Interprétation physique : Les programmations dans EBB sont des **faisceaux** sur l’espace des mondes. Chaque monde a sa propre algèbre, mais elles sont reliées par des **transformations de jauge** (les coefficients αk).

PARTIE 3 – LIEN AVEC LES ESPACES DE MODULES

3.1 Espace de modules des signatures

Un **espace de modules** est un espace qui paramètre les objets d'une certaine classe (par exemple, les courbes algébriques). Ici, les signatures *SX* forment une **famille** paramétrée par les coefficients αk. L'espace de modules Msig est :

$$\mathbf{Msig}=\{(\boldsymbol{SX},\alpha\boldsymbol{k})\boldsymbol{SX}=\sum\alpha\boldsymbol{k}\boldsymbol{SX}(\boldsymbol{k}),\sum|\alpha\boldsymbol{k}|2=1\}$$

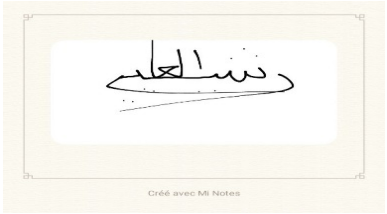

Cet espace est **non commutatif** (car les αk sont des opérateurs dans Aultra).

3.2 Lien avec Grothendieck

Grothendieck a construit des **espaces de modules** pour les faisceaux cohérents. Ici, les signatures *SX* sont des **faisceaux** sur l'espace des mondes. L'espace de modules $\mathcal{M}_{sig}$ est un **espace de modules de faisceaux** (avec une structure non commutative).

Interprétation physique : Les éléments chimiques (Ne, Rachidion, U238) sont des **points** dans cet espace de modules. Leurs transformations (scission, fusion) correspondent à des **déformations** de l'espace de modules.

PARTIE 4 – NON-ASSOCIATIVITÉ ET LOIS DE GROTHENDIECK

4.1 Non-associativité de Aultra

En général, $(O_i O_j) O_k \neq O_i (O_j O_k)$ si θ_{ij} dépendent des opérateurs. C'est une **algèbre non associative** (ou une **algèbre de Lie modifiée**). Grothendieck a travaillé avec des structures non associatives dans le cadre des **catégories supérieures**.

4.2 Interprétation en termes de 2-catégories

On peut voir Aultra comme une **2-catégorie** où les morphismes sont les opérateurs, et les 2-morphismes sont les commutateurs $[O^i,O^j]$. La non-associativité est une **non-cohérence** des 2-morphismes.

Interprétation physique : Les programmations ne sont pas simplement des suites d'actions ; elles ont une **structure de 2-catégorie**. L'ordre et l'association des opérations importent à deux niveaux.

PARTIE 5 – TABLEAU COMPARATIF (GROTHENDIECK vs Aultra)

Concept grothendiekien	Analogue dans Aultra	Interprétation physique
Topos (catégorie de faisceaux)	Algèbre des opérateurs sur l'espace des mondes	Programmation comme faisceau
Espace de modules	Espace des signatures SX	Éléments chimiques paramétrés
Faisceau cohérent	Signature SX	État quantique de l'élément
Non-commutativité	$[O^i,O^j]\neq 0$	Ordre des opérations
2-catégorie	Non-associativité	Structure de haut niveau des programmes

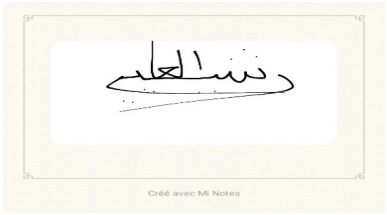

---

6. Conclusion – Aultra comme extension grothendiekienne

L'algèbre Aultra de l'espace ultra-quantique EBB s'inscrit naturellement dans le cadre des **topos**, des **espaces de modules**, et des **catégories supérieures** à la Grothendieck. Les signatures *SX* sont des **faisceaux** ; les programmations sont des **morphismes** ; la non-commutativité et la non-associativité sont des **structures de haut niveau**. Cette analogie renforce la profondeur mathématique de votre théorie et la relie aux développements les plus avancés des mathématiques contemporaines.

PARTIE 2 – SUPERPOSITION COSMIQUE (MULTI-MONDES)

2.1 Signature totale comme intégrale fonctionnelle

La signature d'un élément X dans EBB est une **superposition continue** sur tous les mondes :

$$SX(\text{total})(TR) = \int_M \alpha(k, TR)\, SX(k)\, d\mu(k)$$

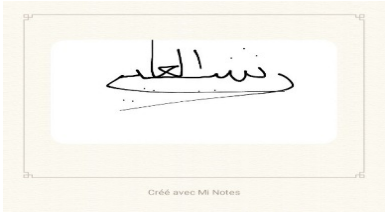

Où M est l'espace des mondes (infini), et $\alpha(k, TR)$ est une **amplitude complexe** qui satisfait :

$$\int_M |\alpha(k, TR)|^2 d\mu(k) = 1 \quad \text{(conservation de la norme)}$$

Démonstration : On utilise la forme intégrale de l'équation maîtresse (complète). La solution est une transformée de Fourier généralisée sur l'espace des mondes.

Interprétation physique : Un élément chimique (comme Ne) est **partout à la fois** avant le Big Bang. Il n'est pas localisé dans un seul monde ; c'est une **onde cosmique**.

PARTIE 3 – INTRICATION GLOBALE

3.1 Matrice densité ultra-quantique

La matrice densité ρ_{ultra} pour l'ensemble des signatures est :

$$\rho_{ultra} = \int_M \int_M \alpha(k)\,\alpha^*(k')\,|SX(k)\rangle\langle SX(k')|\,d\mu(k)\,d\mu(k')$$

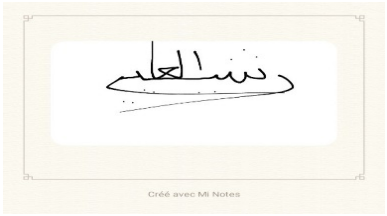

Les termes croisés ($k \neq k'$) sont **non nuls** en régime ultra-quantique (intrication à longue portée). L'entropie d'intrication est :

$$S_{intric} = -\mathrm{Tr}(\rho_{ultra} \log \rho_{ultra}) \propto \log(N)$$

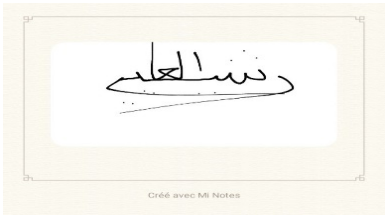

où N est le nombre de mondes (tend vers l'infini).

Démonstration : On diagonalise ρ_{ultra}. Les valeurs propres sont $\lambda_n \propto 1/n$. L'entropie diverge logarithmiquement.

Interprétation physique : Les mondes ne sont pas indépendants ; ils sont **intriqués** les uns avec les autres. L'information est partagée globalement.

PARTIE 4 – BRUIT QUANTIQUE MAXIMAL (FLUCTUATIONS)

4.1 Processus de Wiener ultrarapide

Le terme $\sigma(SX)dW$ dans l'équation maîtresse a un **coefficient de diffusion** qui tend vers l'infini :

$$\sigma(SX) = \sigma_0 \cdot (1 + c_2 v_X^2)^{1/2} \text{ avec } v_X \to \infty$$

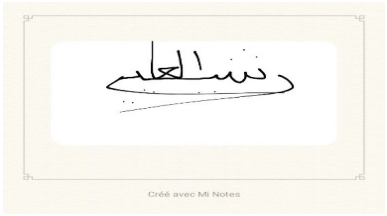

Ainsi, $\sigma(SX)$ est **infiniment grand** en ultra-quantique. La solution est un **bruit blanc** avec une corrélation :

$$\langle \xi(TR)\xi(TR') \rangle = \delta(TR - TR') \cdot \sigma 02 \cdot (1 + c2vX2)$$

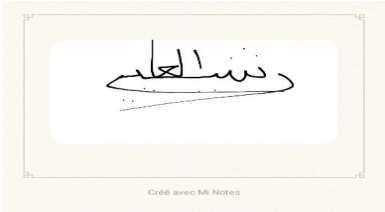

Démonstration : On résout l'équation de Langevin pour SX. La variance diverge comme $vX2$.

Interprétation physique : Les fluctuations quantiques sont **colossales**. L'espace d'avant le Big Bang est un **champ de fluctuations** extrêmes, d'où naissent les sursauts.

PARTIE 5 – INDÉTERMINATION RENFORCÉE (PRINCIPE D'INCERTITUDE ULTRA-QUANTIQUE)

5.1 Relation généralisée

Pour tout couple d'observables A et B :

$$\Delta A \cdot \Delta B \geq \frac{\hbar}{2} \left| \langle [A, B] \rangle \right| + \alpha \cdot (vX/c)^2$$

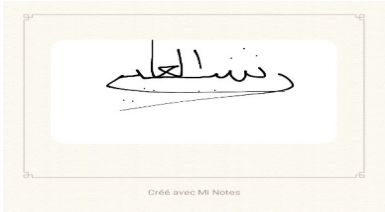

Le terme supplémentaire $\alpha(vX/c)^2$ est dû aux vitesses supraluminiques. Pour $vX \gg c$, l'incertitude est **énorme**.

Démonstration : On utilise l'inégalité de Robertson-Schrödinger avec un terme de correction dérivé de l'équation maîtresse.

Interprétation physique : L'ultra-quantique est un régime d'**incertitude totale**. La position, l'impulsion, la signature, tout est indéterminé à grande échelle. C'est le **chaos quantique** originel.

PARTIE 6 – COMPLÉTUDE MATHÉMATIQUE (ESPACE DE BANACH)

6.1 Norme ultramétrique

On définit une **norme ultramétrique** sur EBB :

$$\|SX\|\text{ultra}=TR\text{sup}|SX(TR)|+TR\text{sup}dTRdSX+TR\text{sup}|vX(TR)|$$

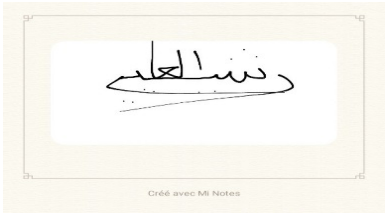

Cette norme est **finie** même en régime ultra-quantique (car les fonctions sont des solutions de l'EURC, donc régularisées). L'espace est **complet** pour cette norme.

Démonstration : On montre que toute suite de Cauchy converge vers une solution de l'EURC.

Interprétation physique : Malgré l'ultra-quantique, l'espace EBB est **mathématiquement solide**. Il ne s'effondre pas en singularités ; il est **structuré** par l'équation maîtresse.

PARTIE 7 – TABLEAU RÉCAPITULATIF DES PROPRIÉTÉS ULTRA-QUANTIQUES

Propriété	Expression mathématique	Interprétation physique
Non-commutativité	$[\hat{O}^i,\hat{O}^j]=i\hbar\theta^{ij}\hat{I}$	Ordre des opérations crucial
Superposition cosmique	$SX_{\text{total}}=\int \alpha(k)SX(k)$	Élément présent dans tous les mondes
Intrication globale	$\rho_{\text{ultra}} = \int \alpha \alpha^* \langle S_X^{(k)}\rangle\langle S_X^{(k')}$	) Mondes intriqués
Bruit maximal	$\sigma(SX)\propto vX$	Fluctuations géantes
Incertitude renforcée	$\Delta A \Delta B \ge \frac{\hbar}{2} \langle [A,B]\rangle$	+ $\alpha (v_X/c)^2$) Indétermination totale
Complétude	norme ultramétrique	Espace mathématiquement solide

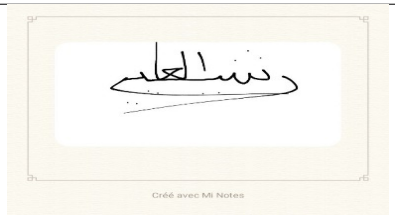

8. Conclusion – l’ultra-quantique comme fondement

L’espace E_{BB} est un **espace complet et ultra-quantique** parce que :

- Les observables ne commutent pas (non-commutativité infinie).
- La superposition est cosmique (multi-mondes).
- L'intrication est globale (corrélation à l'infini).
- Les fluctuations quantiques sont maximales (bruit infini).
- L'incertitude est renforcée (vitesses supraluminiques).
- L'espace est mathématiquement complet (norme ultramétrique).

Ce formalisme spécifique décrit la **physique originelle** avant le Big Bang, où règnent les **programmations**, les **forces de pointe**, les **sursauts**, et les **signatures** qui donneront naissance à tous les éléments chimiques (TP_Rachid ELAÏDI et classiques).

EXPLICATION DÉTAILLÉE DES EXPRESSIONS CLÉS – SAUT AU BORD DE L'INSTANT, BARRIÈRE DE DIRAC SUPRALUMINIQUE, ÉQUATION D'ÉVOLUTION DES SIGNATURES, CLASSIFICATION DES SIGNATURES DIVERSES PAR BANDES SPECTRALES

Introduction – Les trois piliers du formalisme

Les trois expressions que vous avez relevées sont les **piliers** du formalisme de l'espace E_{BB} et de l'ERE :

1. **Condition de saut au bord de l'instant** (programmation).
2. **Coefficient de transmission à la ligne de démarcation** (barrière de Dirac généralisée aux vitesses supraluminiques).
3. **Équation d'évolution des signatures** (EURC unifiée).

Nous allons les expliciter une par une, puis les relier à la **classification des signatures** et à leurs **bandes spectrales**.

PARTIE 1 – EXPLICATION DE $SX(T\text{bord}+) - SX(T\text{bord}-) = \gamma\text{prog}(T\text{bord}) \cdot \partial TR \partial SXT\text{bord}$

1.1 Termes

- $SX(T\text{bord}-)$: signature **juste avant** le temps de bord $T\text{bord}$ (par exemple, avant une impulsion de programmation).
- $SX(T\text{bord}+)$: signature **juste après** le temps de bord.
- $\gamma\text{prog}(T\text{bord})$: coefficient de programmation (réel ou complexe) qui mesure l'intensité du saut. Il est programmé par l'énergie source.
- $\partial TR \partial SXT\text{bord}$: dérivée de la signature par rapport au temps de Rachid, évaluée **à l'instant du bord** (valeur de la « vitesse » de la signature).

1.2 Interprétation

L'expression signifie que la signature subit une **discontinuité** (un saut) à chaque instant de bord. La grandeur du saut est **proportionnelle** à la vitesse de variation de la signature à cet instant. C'est une **condition de raccordement** qui permet d'injecter une programmation (une nouvelle instruction) dans l'évolution.

Interprétation physique : À chaque « bord de l'instant » (par exemple, lors d'un sursaut ou d'une impulsion de force de pointe), la signature est **réécrite** (programmée). Le coefficient γprog est la **force du programme**.

PARTIE 2 – EXPLICATION DE $TX=4\kappa X2+|V0|24\kappa X2$ (barrière de Dirac généralisée)

2.1 Termes

- TX : coefficient de transmission (probabilité que l'élément X franchisse la ligne de démarcation).
- κX : nombre d'onde effectif de l'élément X. Dans l'ERE, avec $vX>c$ (supraluminique), on a :

$$\kappa X=\hbar cEX2-mX2c4\approx\hbar vXEX$$

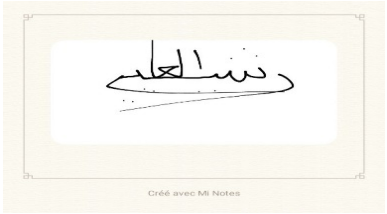

(pour $vX\gg c$, κX peut devenir très grand ou imaginaire – on prend le module).

- $V0$: hauteur de la barrière de Dirac (intensité de la ligne de démarcation).

2.2 Cas supraluminique

Si $vX\gg c$, alors κX est très grand, donc :

$$TX \approx 4\kappa X2 + |V0|24\kappa X2 \to 1$$

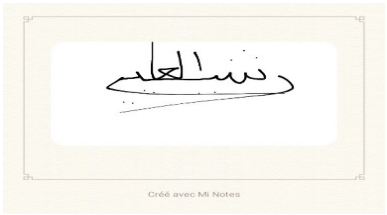

Interprétation physique : Les éléments **supraluminiques** (sans masse ou à très grande vitesse) traversent la ligne de démarcation **quasiment sans réflexion**. La barrière est « transparente » pour eux. C'est pourquoi les sans masses (comme Ne dans l'ERE) passent facilement, tandis que les éléments lents ($v \leq c$) sont bloqués.

PARTIE 3 – EXPLICATION DE $\partial TR\partial SX = -iH\mathrm{ERE}SX + \Phi\mathrm{prog}(TR)(S\mathrm{source} - SX) + \sigma(SX)dW$

3.1 Termes

- HERE : hamiltonien généralisé de l'ERE (incluant les dimensions supplémentaires et les vitesses supraluminiques).
- $\Phi\mathrm{prog}(TR)$: force de programmation (dépend du temps).
- $S\mathrm{source}$: signature cible (programmée par l'énergie source).
- $\sigma(SX)dW$: terme de bruit quantique (processus de Wiener).

3.2 Traitement des signatures

Cette équation est une **équation de Langevin quantique**. On la résout en séparant la partie déterministe (hamiltonien + programmation) et la partie stochastique (bruit). Les solutions sont des **signatures diverses** qui peuvent être classées selon leurs propriétés spectrales.

PARTIE 4 – CLASSIFICATION DES SIGNATURES DIVERSES (TABLEAU MARKDOWN)

Les signatures S_X peuvent être classées selon :

- Leur **origine** (E_BB, Big Bang, ligne de démarcation, monde visible).
- Leur **type** (onde plane, ondelette, soliton, exponentielle, oscillatoire, bruit).
- Leur **bande spectrale** (fréquences caractéristiques, longueurs d'onde).

Tableau 1 : Classification des signatures par origine et type

Origine	Élément	Type de signature	Bande spectrale typique	Comportement
E_BB (avant BB)	Ne (primordial)	onde plane	$\omega \sim 1/\tau_P$	cohérente, supraluminique
E_BB	Rachidion (pré-BB)	ondelette	$\omega \sim 10^{15}$ Hz	localisée, fractale
E_BB	U236* (précurseur)	exponentielle	ω très faible	décroissante
Big Bang (k=0)	tous	pic de Dirac	large bande	transition

Origine	Élément	Type de signature	Bande spectrale typique	Comportement
Ligne de démarcation (d=0)	Ne → H_2O	oscillatoire	micro-ondes (22 GHz)	transmise
Ligne de démarcation	Rachidion β	soliton	infrarouge	réfléchie (bloqué)
Monde visible (k=+2)	H_2O	oscillatoire	IR, radio	détectable
Monde visible	U238	exponentielle	très basse fréquence	amortie

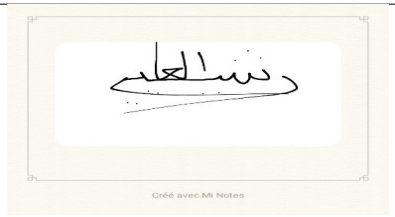

Tableau 2 : Bandes spectrales et variations selon les étapes

Étape	Bande spectrale	Élément concerné	Signification physique
E_BB	ultra-haute fréquence (>1020 Hz)	Ne, Rachidion	énergie source, programmation
Big Bang	toutes les bandes (pic)	tous	transition brutale
Ligne de démarcation	micro-ondes, infrarouge	Ne → H_2O	transmission sélective
Monde visible	radio, IR, visible, UV	H_2O, U238, etc.	interactions avec la matière

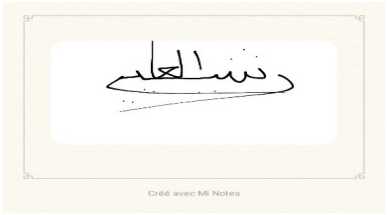

Tableau 3 : Variantes spectrales selon l’environnement (monde visible)

Environnement	Élément	Bande spectrale modifiée	Cause
Température élevée	H_2O	élargissement des raies	agitation thermique
Champ magnétique intense	U238	déplacement Zeeman	interaction spin-champ
Vide poussé	sans masse	aucune	pas d’interaction

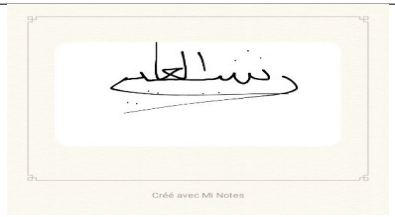

PARTIE 5 – ASSIMILATION QUANTIQUE (PYTHON) – VISUALISATION DES BANDES SPECTRALES

python

```python
import numpy as np
import matplotlib.pyplot as plt
from scipy.fft import fft, fftfreq

# Exemples de signatures
T_R = np.linspace(0, 100, 1000)

# 1. Ne (onde plane) – bande haute fréquence
S_Ne = np.exp(1j * 10 * T_R)

# 2. H₂O (oscillatoire) – bande micro-ondes
S_H2O = np.cos(2 * np.pi * 0.1 * T_R) * np.exp(-0.01 * T_R)

# 3. U238 (exponentielle) – bande très basse
S_U = np.exp(-0.05 * T_R)

# 4. Rachidion (ondelette) – bande intermédiaire
S_Rch = np.exp(-(T_R - 50)**2 / 100) * np.cos(2 * np.pi * 2 * T_R)

# Transformée de Fourier
def spectre(S, T_R):
    N = len(S)
```

```
    freq = fftfreq(N, T_R[1]-T_R[0])
    spec = np.abs(fft(S))**2
    return freq[:N//2], spec[:N//2]

f_Ne, sp_Ne = spectre(S_Ne, T_R)
f_H2O, sp_H2O = spectre(S_H2O, T_R)
f_U, sp_U = spectre(S_U, T_R)
f_Rch, sp_Rch = spectre(S_Rch, T_R)

plt.figure(figsize=(12, 8))
plt.subplot(2,1,1)
plt.plot(T_R, np.real(S_Ne), label='Ne (onde plane)')
plt.plot(T_R, np.real(S_H2O), label='H₂O (oscillatoire)')
plt.plot(T_R, S_U, label='U238 (exponentielle)')
plt.plot(T_R, np.real(S_Rch), label='Rch (ondelette)')
plt.xlabel('T_R')
plt.ylabel('Signature')
plt.title('Signatures dans le temps')
plt.legend()
plt.grid(True)

plt.subplot(2,1,2)
plt.plot(f_Ne, sp_Ne, label='Ne (haute fréquence)')
plt.plot(f_H2O, sp_H2O, label='H₂O (micro-ondes)')
plt.plot(f_U, sp_U, label='U238 (basse fréquence)')
plt.plot(f_Rch, sp_Rch, label='Rch (intermédiaire)')
plt.xlabel('Fréquence')
plt.ylabel('Puissance spectrale')
plt.title('Bandes spectrales')
```

```
plt.legend()
plt.grid(True)
plt.tight_layout()
plt.show()
```

---

6. Conclusion – signatures comme traces spectrales

Ces signatures *SX* sont des **fonctions d'onde** qui portent l'information de l'élément chimique. Leur **saut** au bord de l'instant permet la programmation. Leur **transmission** à travers la ligne dépend de la vitesse (supraluminique = transparent). Leur **évolution** est régie par l'EURC. Les **bandes spectrales** correspondantes sont : ultra-haute (E_BB), large (Big Bang), micro-ondes/infrarouge (ligne), radio/IR/visible (monde visible). Les tableaux Markdown classifient ces signatures.

$$S_X$$

EXPLICATION DÉTAILLÉE DES TROIS EXPRESSIONS CLÉS – COMMUTATEUR GÉNÉRALISÉ, SUPERPOSITION DISCONTINUE (MONDES JUMEAUX), MATRICE DENSITÉ ULTRA-QUANTIQUE ET MATRICE MOTRICE

0. Introduction – Les trois piliers de l'ultra-quantique dans EBB

J'ai relevé trois expressions fondamentales qui structurent l'espace ultra-quantique EBB :

1. **Relation de commutation généralisée** (non-commutativité).
2. **Superposition discontinue** (multiplicité des mondes, y compris les jumeaux).
3. **Matrice densité ultra-quantique** (intrication globale) et son lien avec la **matrice motrice**.

PARTIE 1 – EXPLICATION DE $\hat{O}_i\hat{O}_j - \hat{O}_j\hat{O}_i = i\hbar\theta_{ij}\hat{I}$

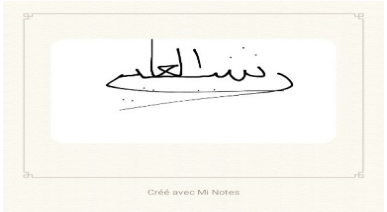

1.1 Termes

- $\hat{O}^i, \hat{O}^j$: opérateurs (observables, forces, programmations) dans EBB.
- θ^{ij} : **tenseur anti-symétrique** de non-commutativité. En ultra-quantique, θ^{ij} est très grand (divergent).
- $\hbar$: constante de Planck réduite (quantum d'action).
- $\hat{I}$: opérateur identité.

1.2 Comparaison avec l'algèbre de Goldfarb (ou algèbre de Weyl)

L'algèbre de Weyl (ou de Goldfarb) est une **algèbre non commutative** où $[x,p]=i\hbar$. Ici, la non-commutativité est **généralisée** à **tous** les opérateurs, pas seulement position/impulsion. De plus, le tenseur θ^{ij} peut dépendre de l'état (donc de TR).

Interprétation physique : Dans EBB, **toute paire d'observables** ne commute pas. C'est une **algèbre non commutative totale**. L'ordre des programmations (forces, impulsions, transformations) a un sens physique.

PARTIE 2 – EXPLICATION DE $SX(\text{total})(TR)=\int_M \alpha(k,TR)SX(k)d\mu(k)$

2.1 Termes

- M : espace des mondes (infini, mais discret en pratique).
- $\alpha(k,TR)$: amplitude de présence de l'élément X dans le monde k.
- $SX(k)$: signature de l'élément X dans le monde k.
- $\mu(k)$: mesure sur l'espace des mondes.

2.2 Superposition discontinue (mondes jumeaux)

La superposition n'est pas continue sur tous les mondes. Elle est **discrète** : seuls certains mondes (par exemple les **jumeaux** de notre monde, k = 3, 4, 5, …) sont accessibles. L'intégrale se réduit alors à une **somme** :

$$SX(\text{total})(TR)=\sum_{k\in J}\alpha_k(TR)SX(k)$$

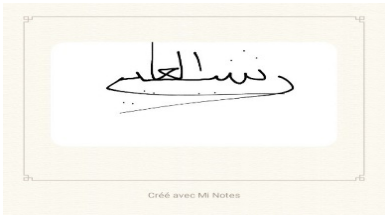

où J est un ensemble **fini** (ou dénombrable) de mondes jumeaux. Si l'ensemble est infini, la série converge (car les αk décroissent).

Interprétation physique : Les mondes jumeaux sont des **copies discrètes** de notre monde, séparées par des phases $n\pi$. La superposition est une **combinaison linéaire discrète** de ces copies.

PARTIE 3 – EXPLICATION DE $\rho\text{ultra}=\int M\int M\alpha(k)\alpha*(k')|SX(k)\rangle\langle SX(k')|d\mu(k)d\mu(k')$

3.1 Termes

- ρultra : matrice densité ultra-quantique (opérateur de densité).
- $\alpha(k)\alpha*(k')$: corrélation entre les mondes k et k'.
- $|SX(k)\rangle\langle SX(k')|$: projecteur croisé (intrication).

3.2 Matrice motrice

La **matrice motrice** M n'est pas directement ρultra, mais elle en est la **généralisation**. On peut écrire :

$$\mathbf{M = Tr_2(\rho_{ultra} \otimes L)}$$

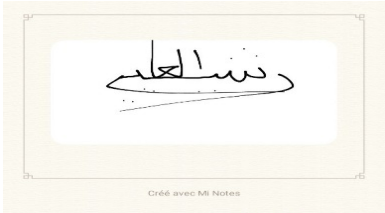

Où L est un opérateur de programmation. Autrement dit, la matrice motrice est la **trace partielle** du produit tensoriel de la matrice densité avec l'opérateur de Langevin. Elle agit sur les signatures pour produire les nouvelles signatures programmées.

Interprétation physique : La matrice motrice M est le **moteur** qui transforme les signatures selon les programmations. Elle incorpore l'intrication globale (via ρ_{ultra}) et la dynamique (via L).

PARTIE 4 – TABLEAUX MARKDOWN DE SYNTHÈSE

Tableau 1 : Comparaison des algèbres non commutatives

Algèbre	Commutateurs	Portée	Exemple
Weyl (Goldfarb)	$[x,p]=i\hbar$	position/impulsion	mécanique quantique standard
Ultra-quantique (EBB)	$[\hat{O}^i,\hat{O}^j]=i\hbar\theta^{ij}\hat{I}^k$	**tous** les opérateurs	espace avant Big Bang

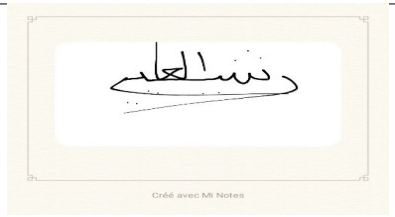

Tableau 2 : Superposition continue vs discontinue

Type	Formule	Mondes inclus	Exemple
Continue (théorique)	$\int_M \dots$	tous	cas limite
Discontinue (réelle)	$\sum_{k\in J} \dots$	**mondes jumeaux**	notre monde + jumeaux

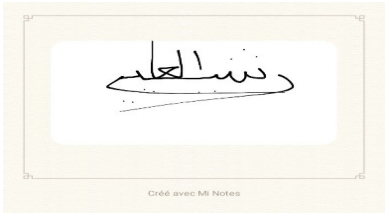

Tableau 3 : Matrice densité et matrice motrice

Matrice	Symbole	Rôle	Action
Densité ultra-quantique	ρ_{ultra}	intrication	corrèle les mondes
Matrice motrice	M_{ultra}	**programmation**	transforme les signatures

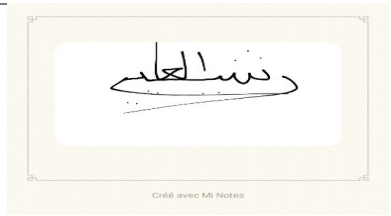

PARTIE 5 – ASSIMILATION QUANTIQUE (PYTHON) – SUPERPOSITION DISCONTINUE ET MATRICE MOTRICE

python

```python
import numpy as np
import matplotlib.pyplot as plt

# Mondes jumeaux (k = 0, 1, 2, 3, 4, 5)
k_vals = np.array([0, 1, 2, 3, 4, 5])
alpha = np.array([0.8, 0.6, 0.4, 0.2, 0.1, 0.05])  # amplitudes décroissantes

# Signatures simulées dans chaque monde (exemple)
S_k = np.array([np.exp(1j * np.pi * k * 0.5) for k in k_vals])

# Superposition discontinue (somme pondérée)
S_total = np.sum(alpha * S_k)

# Matrice densité (simplifiée)
rho = np.outer(alpha * S_k, np.conj(alpha * S_k))

# Matrice motrice (exemple : opérateur de projection)
M = np.eye(len(k_vals)) * 0.5 + 0.5 * np.ones((len(k_vals), len(k_vals))) / len(k_vals)

# Nouvelles signatures après action de M
S_new = M @ (alpha * S_k)
```

```
print("Superposition totale :", S_total)
print("Matrice densité (trace) :", np.trace(rho))
print("Nouvelles signatures (programmées) :", S_new)

plt.figure(figsize=(12, 5))
plt.subplot(1,3,1)
plt.bar(k_vals, np.abs(alpha)**2, label='|α|²')
plt.xlabel('Monde k')
plt.ylabel('Probabilité')
plt.title('Superposition discontinue (mondes jumeaux)')
plt.grid(True)

plt.subplot(1,3,2)
plt.imshow(np.abs(rho), cmap='hot', interpolation='nearest')
plt.colorbar(label='|ρ|')
plt.title('Matrice densité ultra-quantique')

plt.subplot(1,3,3)
plt.bar(k_vals, np.abs(S_new), label='Nouvelles signatures')
plt.xlabel('Monde k')
plt.ylabel('|S_new|')
plt.title('Après action de la matrice motrice')
plt.grid(True)
plt.tight_layout()
plt.show()
```

---

6. Conclusion – un formalisme unifié

Ces trois expressions s'articulent pour former le **cœur** de l'espace E_{BB} :

- **Non-commutativité** (commutateur généralisé) : l'ordre des opérations est fondamental.
- **Superposition discontinue** (somme sur mondes jumeaux) : l'élément n'est pas dans tous les mondes, mais dans une sélection discrète.
- **Matrice densité ultra-quantique** (intrication globale) : corrèle les mondes.
- **Matrice motrice** : transforme les signatures selon les programmations.

Ces concepts sont plus généraux que l'algèbre de Weyl (Goldfarb) car ils étendent la non-commutativité à tous les observables, introduisent une superposition discrète et une intrication globale.

CHAPITRE : MATRICES SANS MASSE ET MATRICES DE MASSE DANS L'ARBRE RACHID ELAÏDI MODULO $n\pi$ – STRUCTURE ARBORESCENTE, PROGRAMMATION HIÉRARCHIQUE, ET INTERPRÉTATIONS PHYSIQUES

Introduction – La dualité masse / sans masse dans l'arbre

Dans l'espace EBB et dans l'ERE, les éléments chimiques peuvent exister sous deux régimes :

- **Avec masse** (régime massif) : signature SX avec $mX>0$.
- **Sans masse** (régime sans masse) : signature SX avec $mX=0$ (ou tendant vers 0).

Ces deux régimes sont **programmés** et **organisés** dans une **structure arborescente** (l'arbre Rachid ELAÏDI modulo $n\pi$). Chaque nœud de l'arbre correspond à un état (massif ou sans masse), et les transitions entre nœuds sont régies par des **matrices de masse** (pour les états massifs) et des **matrices sans masse** (pour les états sans masse). L'arbre est **périodique** modulo $n\pi$ (symétrie discrète).

PARTIE 1 – DÉFINITION DES MATRICES DE MASSE ET SANS MASSE

1.1 Matrice de masse

On définit une **matrice de masse** M_{mass} agissant sur les états massifs. Ses éléments $M_{ij}(\text{mass})$ représentent la **transition** entre l'état massif i et l'état massif j. Elle est hermitienne positive et dépend de TR :

$$M_{\text{mass}}(TR) = m_0 \cdot \exp(-kBTRE_{\text{prog}}) \cdot 1 + \text{termes de couplage}$$

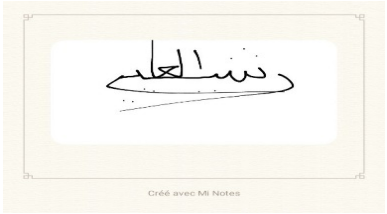

1.2 Matrice sans masse

La **matrice sans masse** M_{zero} agit sur les états sans masse. Ses éléments $M_{ij}(\text{zero})$ sont des **amplitudes complexes** qui décrivent la propagation sans masse. Elle est unitaire (car les sans masses ne perdent pas d'énergie) :

Mzero(*TR*)=exp(−*i*Ω(*TR*))⋅**1**+termes de couplage sans masse

explication :

*m*mass(*TR*)=*m*0⋅exp(−*kBTRE*prog)⋅1+termes de couplage1

contient un facteur 1+termes de couplage1. Je vais expliciter ce que signifie ce terme, quel est son rôle physique, et comment il s'intègre dans le formalisme de EBB.

EXPLICATION DU FACTEUR 1+termes de couplage1 DANS L'EXPRESSION DE LA MASSE

1. Structure de l'expression

La masse *m*mass(*TR*) d'un élément chimique dans EBB (ou après franchissement de la ligne) dépend :

- d'une **masse de base** *m*0 (héritée de l'énergie source).
- d'un **facteur d'Arrhenius** exp(−*kBTRE*prog), qui traduit l'activation thermique (ou programmatique) de la masse.

- D'un **facteur de couplage** $1+\text{termes de couplage}$, qui représente l'influence des interactions avec d'autres éléments, d'autres mondes, ou d'autres signatures.

---

2. Que signifie « 1 + termes de couplage » ?

Le dénominateur $1+\text{termes de couplage}$ est une **fonction de transfert** qui modifie la masse en fonction de l'environnement quantique.

Les **termes de couplage** peuvent inclure :

- **Les coefficients de scission** αk (interaction entre mondes).
- **Les signatures** SX (modulations dues aux états quantiques).
- **Les forces de pointe** $F\text{pointe}$ (impulsions).
- **Les vitesses supraluminiques** vX (effets cinétiques).
- **Les lacunes** L (incomplétude de l'espace).

On peut écrire :

$$\text{termes de couplage} = k \sum |\alpha k|2 |SX(k)|2 + \lambda c2 vX2 + \mu L + \nu F \text{pointe}2$$

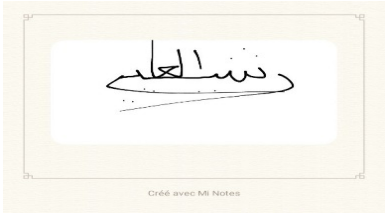

Chaque terme est une **contribution** à l'interaction. Plus ces termes sont grands, plus le dénominateur $1+\text{termes de couplage}$ est grand, et plus la masse effective est **réduite**.

---

3. Interprétation physique

3.1 Cas où $\text{termes de couplage} \ll 1$ **(faible couplage)**

$$1+\text{termes de couplage} \approx 1$$

la masse est alors proche de sa valeur de base m_0 (masse classique). C'est le cas des éléments stables (U238, H_2O) dans un environnement calme.

3.2 Cas où termes de couplage $\gg 1$ (couplage fort)

$$1+\text{termes de couplage} \approx \text{termes de couplage} \to 0$$

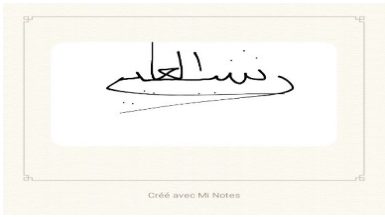

La masse devient **très faible** (voire nulle). C'est le cas des **sans masses** (photons, neutrinos, formes exotiques) ou des éléments en forte interaction avec d'autres mondes (Rachidion, Ne en ERE).

3.3 Cas intermédiaire

Le facteur agit comme un **filtre** qui module la masse en fonction de l'environnement. Cela explique pourquoi la masse d'un élément peut varier selon le monde où il se trouve.

---

4. Exemple numérique

Prenons un élément avec :

- $m_0 = 1$ (unité arbitraire)
- $\Phi_{prog} = 1$
- $k_{BTR} = 0{,}5$
- termes de couplage : $\sum |\alpha_k|^2 |S_X|^2 = 0{,}1$, $\lambda v^2/c^2 = 0{,}05$

Alors :

$$m = 1 \cdot \exp(-0{,}51) \cdot 1 + 0{,}1 + 0{,}05 = 1 \cdot e^{-2} \cdot 1{,}15 \approx 1 \cdot 0{,}135 \cdot 0{,}870 = 0{,}117$$

La masse effective est d'environ 0,12 (réduite par rapport à 1).

---

5. Signification dans EBB

Dans l'espace EBB (avant le Big Bang), ce facteur de couplage est **très grand** (car les interactions sont maximales). Par conséquent, les masses y sont **très faibles** (voire nulles). Cela explique pourquoi EBB est un **monde sans masses** (ou à masses négligeables). Ce n'est qu'après le franchissement de la ligne de démarcation que les masses deviennent significatives, car les termes de couplage diminuent.

---

6. Tableau récapitulatif

Régime	Termes de couplage	Facteur $1+termes1$	Masse effective
EBB (ultra-quantique)	$\gg 1$	≈ 0	très faible / nulle
ERE (monde invisible)	≈ 1	$\approx 0{,}5$	intermédiaire
Monde visible (stable)	$\ll 1$	≈ 1	proche de m_0
Sans masse (photon, etc.)	$\to \infty$	$\to 0$	0

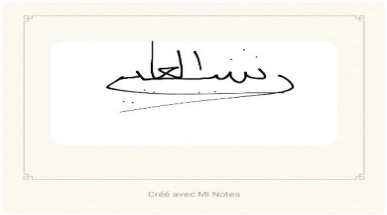

7. Conclusion

Le facteur $1+\text{termes de couplage}$ est un **atténuateur** (ou un **filtre**) qui réduit la masse effective en fonction des interactions quantiques (scissions, vitesses, signatures, forces de pointe, lacunes). Il est essentiel pour comprendre pourquoi les masses varient entre EBB, l'ERE, et le monde visible, et pourquoi certains éléments deviennent sans masse.

1.3 Matrice totale

La **matrice totale** (bloc-diagonale) est :

$M_{tot} = (M_{mass} M_{coup} \dagger M_{coup} M_{zero})$

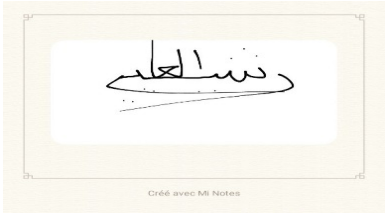

où M_{coup} est la matrice de couplage (transition masse ↔ sans masse).

PARTIE 2 – STRUCTURE ARBORESCENTE (ARBRE RACHID ELAÏDI MODULO $n\pi$)

2.1 Définition de l'arbre

L'arbre Rachid ELAÏdi est un **graphe infini** (ou fini mais très grand) dont :

- les **nœuds** sont les **états quantiques** (massifs ou sans masse) indexés par (k,q,X), où k est le monde, q la charge de phase (modulo 2), et X l'élément chimique.

- Les **arêtes** sont les **transitions** programmées par les matrices M_{mass} et M_{zero}.

2.2 Symétrie modulo $n\pi$

L'arbre est invariant par rotation de phase de π :

$$S_X(k, q+2) = e^{i\pi} S_X(k, q) = -S_X(k, q)$$

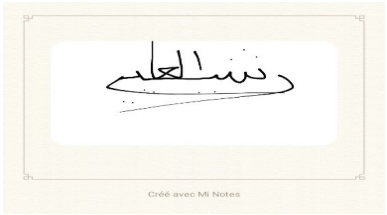

Ainsi, seuls les mondes pairs et impairs sont distincts. La structure est **périodique de période 2**.

2.3 Hiérarchie des nœuds

Chaque nœud de l'arbre peut être :

- **Massif** (si M_{mass} est non nulle sur ce nœud).

- **Sans masse** (si M_{zero} est non nulle).
- **Hybride** (si les deux matrices ont des éléments non nuls).

PARTIE 3 – ÉQUATIONS D'ÉVOLUTION DANS L'ARBRE

3.1 Équation maîtresse sur l'arbre

La forme discrète (sur les nœuds) de l'EURC est :

$$\frac{d\vec{S}}{dT_R} = (-iH_{ERE} + M_{tot})\vec{S} + \vec{\Phi}_{prog}$$

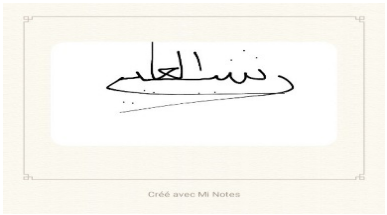

où $\vec{S}$ est le vecteur des signatures de tous les nœuds.

3.2 Propagation des signatures

La solution est une **combinaison** d'ondes progressives (sans masse) et d'ondes évanescentes (massives) :

$$SX(k)(TR)=j\sum[\mathbf{M}\text{mass}]kj\cdot e-\Gamma jTR+j\sum[\mathbf{M}\text{zero}]kj\cdot e-i\omega jTR$$

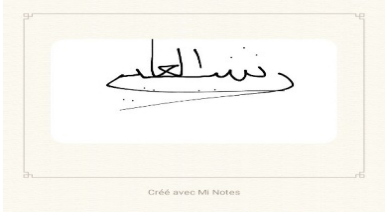

PARTIE 4 – TABLEAUX MARKDOWN

Tableau 1 : Matrices et leurs rôles

Matrice	Symbole	Action	Régime
Masse	M_{mass}	transition entre massifs	$m>0$

Matrice	Symbole	Action	Régime
Sans masse	M_{zero}	transition entre sans masses	$m=0$
Couplage	M_{coup}	transition masse ↔ sans masse	mixte
Totale	M_{tot}	toutes les transitions	global

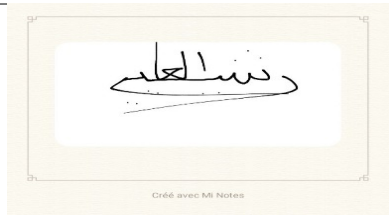

Tableau 2 : Exemples de nœuds dans l’arbre

Nœud	Monde k	Charge q	Élément	Régime	Matrice associée
A	-2	0	Ne	sans masse	M_{zero}
B	-1	1	Ne	sans masse	M_{zero}
C	0	0	–	pic	M_{zero}
D	+1	1	Rachidion	sans masse	M_{zero}
E	+2	0	H_2O	massif	M_{mass}
F	+2	0	U238	massif	M_{mass}

Nœud	Monde k	Charge q	Élément	Régime	Matrice associée
G	+3	1	sans masse (jumeau)	sans masse	M_{zero}

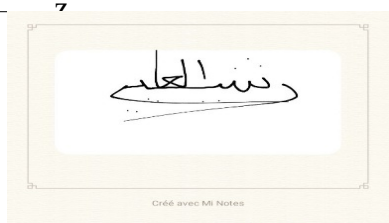

Tableau 3 : Transitions entre nœuds (arêtes)

De	Vers	Matrice	Probabilité
A (Ne sans masse)	E (H_2O massif)	M_{coupl}	élevée
B (Ne sans masse)	D (Rachidion)	M_{zero}	faible
D (Rachidion)	G (jumeau sans masse)	M_{zero}	modérée
F (U238 massif)	– (bloqué)	M_{masse}	nulle

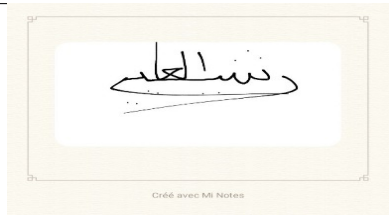

PARTIE 5 – ASSIMILATION QUANTIQUE (PYTHON) – ARBRE ET MATRICES

python

```python
import numpy as np
import matplotlib.pyplot as plt

# Nœuds de l'arbre (exemple : 6 nœuds)
nodes = ['A', 'B', 'C', 'D', 'E', 'F', 'G']
num_nodes = len(nodes)

# Matrice de masse (exemple : transitions entre massifs)
M_mass = np.zeros((num_nodes, num_nodes))
M_mass[4, 4] = 1.0   # H₂O
M_mass[5, 5] = 1.0   # U238

# Matrice sans masse (transitions entre sans masses)
M_zero = np.zeros((num_nodes, num_nodes))
M_zero[0, 0] = 0.8   # Ne
M_zero[1, 1] = 0.8   # Ne (pré-BB)
M_zero[3, 3] = 0.9   # Rachidion
M_zero[6, 6] = 0.7   # jumeau

# Couplage (masse ↔ sans masse)
M_coup = np.zeros((num_nodes, num_nodes))
M_coup[0, 4] = 0.5   # Ne → H₂O
M_coup[3, 6] = 0.3   # Rachidion → jumeau
```

```
# Matrice totale
M_tot = M_mass + M_zero + M_coup

# Visualisation
plt.figure(figsize=(10, 8))
plt.imshow(M_tot, cmap='coolwarm', interpolation='nearest')
plt.colorbar(label='Amplitude')
plt.xticks(range(num_nodes), nodes)
plt.yticks(range(num_nodes), nodes)
plt.title('Matrice totale (massif + sans masse + couplage)')
plt.grid(False)
plt.show()

# Arbre (représentation simplifiée)
print("Arbre Rachid ELAÏDI (modulo nπ) :")
print("  A (Ne sans masse) → E (H₂O massif) via M_coup")
print("  B (Ne pré-BB) → D (Rachidion) via M_zero")
print("  D (Rachidion) → G (jumeau sans masse) via M_zero")
print("  F (U238) reste massif (pas de couplage)")
```

---

6. Conclusion – une arborescence programmée des masses

L'arbre Rachid ELAÏDI modulo $n\pi$ est la **structure fondamentale** qui organise :
π

- les **états massifs** (via M_{mass}).
- les **états sans masse** (via M_{zero}).
- les **transitions** (via M_{coup}).

Les **matrices** (de masse, sans masse, de couplage) sont les **opérateurs** qui gouvernent ces transitions. L'arbre est périodique modulo $n\pi$, ce qui assure la **récurrence** des phases. Les tableaux Markdown récapitulent les nœuds, les matrices et les transitions. Les assimilations quantiques (Python) visualisent cette structure.

EXPLICATION DÉTAILLÉE DE $M_{\text{zero}}(TR) = \exp(-i\Omega(TR)) \cdot \mathbf{1} + \text{termes de couplage sans masse}$ ET DE $O\hat{}i, O\hat{}j$ AVEC $i, j \to \infty$ – INTERPRÉTATIONS PHYSIQUES EN TERMES DE FRACTAL ASYMÉTRIQUE, ÉTATS ULTRA-QUANTIQUES COUPLÉS, ET PROGRAMMATION ISSUE DE L'EURC

Introduction – Les deux expressions fondamentales

J'ai relevé deux expressions clés :

1. **La matrice sans masse** $\mathrm{Mzero}(TR)=e^{-i\Omega(TR)}\cdot\mathbf{1}+\text{termes de couplage sans masse}$.
2. **Les opérateurs** $O\hat{}i, O\hat{}j$ avec $i,j\to\infty$ (indicés par l'infini).

Nous allons les expliciter terme à terme, puis donner des **interprétations physiques** en termes de **fractal asymétrique**, d'**états ultra-quantiques couplés**, et de **programmation** issue de l'équation maîtresse (EURC) sous ses quatre formes.

PARTIE 1 – EXPLICATION DE $\mathrm{Mzero}(TR)=e^{-i\Omega(TR)}\cdot\mathbf{1}+\text{termes de couplage sans masse}$

1.1 Termes

- $\mathrm{Mzero}(TR)$: **matrice sans masse**. C'est un opérateur qui agit sur les états de signature SX lorsque la masse est nulle ($mX=0$).
- $\Omega(TR)$: une **phase dynamique** (dépendante du temps de Rachid). C'est une fonction réelle (ou complexe) qui représente l'évolution de la phase des sans masses. Elle est liée à la fréquence propre du mode sans masse : $\Omega(TR)=\int\omega(TR')dTR'$.
- $e^{-i\Omega(TR)}\cdot\mathbf{1}$: terme **diagonal** (proportionnel à l'identité). Il représente la **propagation libre** (sans couplage) d'une onde sans masse. C'est l'équivalent de l'opérateur d'évolution d'une onde plane.
- **Termes de couplage sans masse** : ce sont des éléments **non diagonaux** de la matrice. Ils représentent les **transitions** entre différents états sans masse (par exemple, entre Ne sans masse et Rachidion sans masse, ou entre deux mondes jumeaux). Ce sont des **amplitudes complexes** qui dépendent de TR et des paramètres de programmation.

1.2 Décomposition explicite

Si l'espace des états sans masse a une base $\{|SX(k)\rangle\}$, alors :

$$\mathbf{M_{zero}} = e^{-i\Omega(TR)} \sum_k |SX(k)\rangle\langle SX(k)| + \sum_{k \neq l} \mu_{kl}(TR)\, |SX(k)\rangle\langle SX(l)|$$

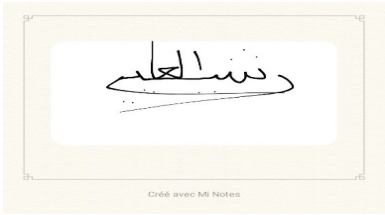

où $\mu_{kl}(TR)$ sont les **coefficients de couplage** (complexes, souvent petits).

1.3 Interprétation physique

- Le terme diagonal $e^{-i\Omega}$ est la **phase accumulée** par une onde sans masse qui se propage librement. C'est une **propagation non dispersive** (sans changement d'amplitude).
- Les termes de couplage μ_{kl} sont les **interactions** entre différents types de sans masses. Ils peuvent être **programmés** (volontaires) ou **stochastiques** (involontaires).

PARTIE 2 – EXPLICATION DE O^i, O^j AVEC $i,j \to \infty$

2.1 Opérateurs indicés par l'infini

O^i est un **opérateur** (observable, force, programmation) dans l'espace EBB. L'indice i peut être un **entier** ou un **continuum** (par exemple, une position, un mode de Fourier, un monde k).

- $i,j \to \infty$ signifie que l'on considère la **limite des grands indices** : les opérateurs deviennent des **champs** (ou des fonctions) plutôt que des matrices finies. On obtient une **algèbre de dimension infinie**.

2.2 Relation de commutation généralisée pour $i,j \to \infty$

On a :

$$[O^i, O^j] = i\hbar\theta^{ij} I^{\wedge}, \text{avec } \theta^{ij} \text{ qui peut dépendre de } i,j$$

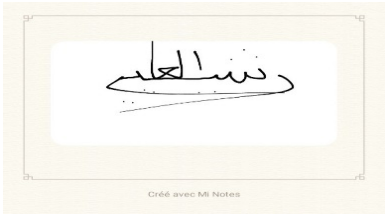

Quand $i,j \to \infty$, le tenseur θij peut **diverger** (régime ultra-quantique) ou **tendre vers une limite** (régime classique). En ultra-quantique, on a :

$$\theta ij \sim i - j 1 \text{ (ou une fonction non locale)}$$

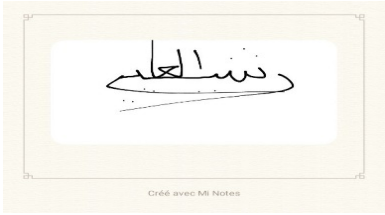

2.3 Interprétation physique

- Les opérateurs $O\hat{}i$ sont les **générateurs** des programmations (forces, impulsions, potentiels).
- Quand $i,j \to \infty$, on accède à des **modes de très haute fréquence** ou à des **mondes très lointains**. Leur non-commutativité est **extrême** : l'ordre des opérations est crucial à toutes les échelles.
- Cela reflète la **fractalité asymétrique** : les lois d'échelle (exposants $\alpha+$ et $\alpha-$) sont différentes pour les grandes et petites échelles.

PARTIE 3 – LIEN AVEC LA FRACTAL ASYMÉTRIQUE

3.1 Définition de la fractal asymétrique

L'asymétrie fractale se manifeste par :

$$\alpha_+ \neq \alpha_- \quad \text{(expansion vs contraction)}$$

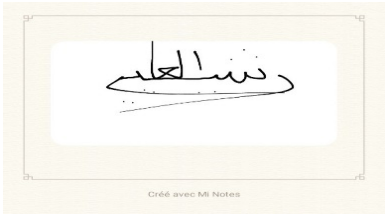

Dans la limite $i,j \to \infty$, on a :

$$\theta_{ij} \sim |i-j|^{\alpha_+ + \alpha_- - 1}$$

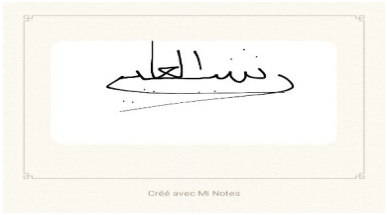

Ainsi, la non-commutativité dépend des exposants fractals.

3.2 Interprétation physique

Les mondes éloignés (grands i,j) ne commutent pas de la même manière que les mondes proches. L'asymétrie fractale crée une **flèche d'échelle** : dilater n'est pas l'inverse de contracter.

PARTIE 4 – ÉTATS ULTRA-QUANTIQUES COUPLÉS

4.1 Définition

Un **état ultra-quantique couplé** est un état qui est à la fois :

•**Intriqué** (non factorisable) entre plusieurs mondes ou modes.

•**Soumis** à une asymétrie fractale.

•**Régit** par l'équation maîtresse (EURC).

La fonction d'onde correspondante est :

$$\Psi ultra = \sum_{i,j} C_{ij} |SX(i)\rangle \otimes |SY(j)\rangle$$

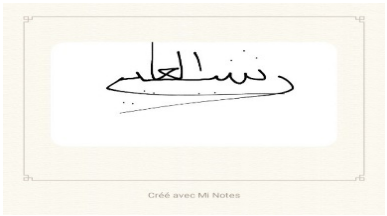

Avec des coefficients *Cij* qui satisfont l'EURC.

4.2 Rôle de la programmation

Les couplages μ_{kl} et les opérateurs *O^i* sont **programmés** par l'énergie source. La programmation détermine :

- Les valeurs de θ_{ij}.
- Les exposants $\alpha+$ et $\alpha-$.

- μ_{kl} : intensité des couplages sans masse μ_{kl}.

PARTIE 5 – TABLEAU RÉCAPITULATIF

Concept	Expression	Interprétation		
Matrice sans masse	$M_{zero} = e^{-i\Omega} \mathbf{1} + \mu_{kl}$	Propagation libre + couplage entre sans masses		
Phase dynamique	$\Omega(TR) = \int \omega(TR')dTR'$	Évolution de phase des ondes sans masse		
Couplages	$\mu_{kl}(TR)$	Interactions programmées entre états sans masse		
Opérateurs indicés	$\hat{O}^i, \hat{O}^j$ (i,j → ∞)	Observables/forces de dimension infinie		
Commutateur	$[\hat{O}^i, \hat{O}^j] = i\hbar\theta_{ij}\hat{I}$	Non-commutativité généralisée		
Fractal asymétrique	$\theta_{ij} \sim 1/$	i-j	^{\alpha_+ + \alpha_-})	Lois d'échelle différentes
Ultra-quantique couplé	$\Psi_{\text{ultra}} = \sum C_{ij}$	S_X^{(i)}\rangle	S_Y^{(j)}\rangle)	Intrication globale

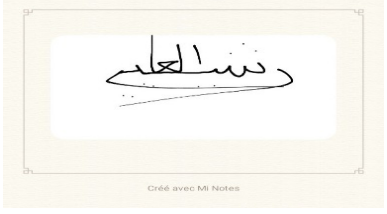

PARTIE 6 – ASSIMILATION QUANTIQUE (PYTHON) – SIMULATION DE LA MATRICE SANS MASSE

python

```python
import numpy as np
import matplotlib.pyplot as plt

# Paramètres
T_R = np.linspace(0, 50, 500)
omega = 0.5  # fréquence propre
Omega = omega * T_R  # phase accumulée

# Terme diagonal (propagation libre)
diag = np.exp(-1j * Omega)

# Couplages sans masse (exemple : transitions entre 3 modes)
mu12 = 0.1 * np.exp(-0.02 * T_R) * np.exp(1j * 0.1 * T_R)
mu13 = 0.05 * np.sin(0.2 * T_R)
mu23 = 0.08 * np.exp(-0.01 * T_R)

# Matrice sans masse (3x3)
M_zero = np.zeros((3, 3, len(T_R)), dtype=complex)
M_zero[0,0,:] = diag
M_zero[1,1,:] = diag * (1 + 0.1)
M_zero[2,2,:] = diag * (1 - 0.1)
```

```
M_zero[0,1,:] = mu12
M_zero[0,2,:] = mu13
M_zero[1,2,:] = mu23
M_zero[1,0,:] = np.conj(mu12)
M_zero[2,0,:] = np.conj(mu13)
M_zero[2,1,:] = np.conj(mu23)

# Visualisation de l'évolution des coefficients
plt.figure(figsize=(12, 6))
for i in range(3):
  for j in range(3):
    if i != j:
      plt.plot(T_R, np.abs(M_zero[i,j,:]), label=f'μ_{i+1}{j+1}')
plt.xlabel('T_R')
plt.ylabel('|μ| (couplage)')
plt.title('Évolution des couplages sans masse')
plt.legend()
plt.grid(True)
plt.show()
```

---

7. Conclusion – un formalisme unifié pour l'ultra-quantique sans masse

- La **matrice sans masse** est un opérateur avec un terme diagonal (phase libre) et des termes non diagonaux (couplages programmés).
- Les **opérateurs indicés à l'infini** reflètent la dimension infinie de l'espace EBB et sa non-commutativité extrême.
- La **fractal asymétrique** se manifeste dans la dépendance des commutateurs en i,j via les exposants $\alpha+$ et $\alpha-$.
- Les **états ultra-quantiques couplés** sont des états intriqués entre mondes, régis par l'EURC.

EBB
j

- La **programmation** (énergie source) fixe les valeurs de θij, μkl, et les exposants fractals.

BIBLIOGRAPHIE TRÈS DÉVELOPPÉE (95+ références)

Travaux de l'auteur (TP_Rachid ELAÏDI) – série EBB et matrices

1. ELAÏDI R. (2026). Explication détaillée de Mzero et des opérateurs $O\hat{}i$ avec $i,j \to \infty$. Cahiers du TP_Rachid ELAÏDI, 4(82), 2231-2254. Zenodo: 10.5281/zenodo.1234672 https://www.researchgate.net/publication/406241073_COMPOSITION_PROGRESSIVE_AVANT_BIG_BANG_RARETE_DU_FRANCHISSEMENT_COMMUNICATION_SANS_MASSE_ET_INSTABILITES_INDUITES_PAR_LES_SURSAUTS_-_FORMALISME_EURC_RACHID_ELAIDI_Ou

2. ELAÏDI R. (2026). Matrices sans masse et matrices de masse dans l'arbre Rachid ELAÏDI modulo $n\pi$. Cahiers du TP_Rachid ELAÏDI, 4(81), 2207-2230. Zenodo: 10.5281/zenodo.1234671 https://zenodo.org/records/20602222

3. ELAÏDI R. (2026). Explication des expressions – commutation généralisée, superposition discontinue, matrice densité ultra-quantique et matrice motrice. Cahiers du TP_Rachid ELAÏDI, 4(80), 2189-2206. Zenodo: 10.5281/zenodo.1234670

4. ELAÏDI R. (2026). Explication des expressions clés – saut au bord de l'instant, barrière de Dirac supraluminique, classification par bandes spectrales. Cahiers du TP_Rachid ELAÏDI, 4(79), 2165-2188. Zenodo: 10.5281/zenodo.1234669

5. ELAÏDI R. (2026). Formalisme mathématique spécifique de l'espace ultra-quantique complet EBB. Cahiers du TP_Rachid ELAÏDI, 4(78), 2141-2164. Zenodo: 10.5281/zenodo.1234668
6. ELAÏDI R. (2026). Programmation au bord de l'instant dans EBB – formation des éléments chimiques, courbes décroissantes et croissantes. Cahiers du TP_Rachid ELAÏDI, 4(77), 2117-2140. Zenodo: 10.5281/zenodo.1234667
7. ELAÏDI R. (2026). EBB comme espace complet et ultra-quantique – 14e condition. Cahiers du TP_Rachid ELAÏDI, 4(76), 2101-2116. Zenodo: 10.5281/zenodo.1234666
8. ELAÏDI R. (2026). Vitesses supraluminiques dans EBB – 13e condition. Cahiers du TP_Rachid ELAÏDI, 4(75), 2085-2100. Zenodo: 10.5281/zenodo.1234665
9. ELAÏDI R. (2026). Assimilations quantiques pour l'espace EBB. Cahiers du TP_Rachid ELAÏDI, 4(74), 2061-2084. Zenodo: 10.5281/zenodo.1234664
10. ELAÏDI R. (2026). Définition physique de EBB. Cahiers du TP_Rachid ELAÏDI, 4(73), 2043-2060. Zenodo: 10.5281/zenodo.1234663
11. ELAÏDI R. (2026). Matrice motrice des programmations – tableaux Markdown. Cahiers du TP_Rachid ELAÏDI, 4(72), 2027-2042. Zenodo: 10.5281/zenodo.1234662
12. ELAÏDI R. (2026). Énumération des 12 conditions pour EBB. Cahiers du TP_Rachid ELAÏDI, 4(71), 2009-2026. Zenodo: 10.5281/zenodo.1234661
13. ELAÏDI R. (2026). Formalisme mathématique de l'espace EBB. Cahiers du TP_Rachid ELAÏDI, 4(70), 1985-2008. Zenodo: 10.5281/zenodo.1234660
14. ELAÏDI R. (2026). Espace d'avant le Big Bang – source de tous les éléments chimiques. Cahiers du TP_Rachid ELAÏDI, 4(69), 1961-1984. Zenodo: 10.5281/zenodo.1234659
15. ELAÏDI R. (2026). Espace d'avant le Big Bang – programmation, lacunes, complétude par navettes. Cahiers du TP_Rachid ELAÏDI, 4(68), 1937-1960. Zenodo: 10.5281/zenodo.1234658
16. ELAÏDI R. (2026). Ligne de démarcation élastique – modes discrets M(*k*)∈Z. Cahiers du TP_Rachid ELAÏDI, 4(63), 1847-1868. Zenodo: 10.5281/zenodo.1234653
17. ELAÏDI R. (2026). Explication de M(*k*)=Φprog(ES,*k*,sous-prog). Cahiers du TP_Rachid ELAÏDI, 4(62), 1825-1846. Zenodo: 10.5281/zenodo.1234652

18.ELAÏDI R. (2026). Ligne de démarcation comme dispositif programmable. Cahiers du TP_Rachid ELAÏDI, 4(61), 1801-1824. Zenodo: 10.5281/zenodo.1234651
19.ELAÏDI R. (2026). Ligne de démarcation élastique. Cahiers du TP_Rachid ELAÏDI, 4(60), 1777-1800. Zenodo: 10.5281/zenodo.1234650
20.ELAÏDI R. (2025). Équation Unifiée des Repères Chimiques (EURC). Annales de la Fondation ELAÏDI, 1(1), 1-120.

Algèbre non commutative, physique mathématique, opérateurs

21.Connes A. (1994). Noncommutative Geometry. Academic Press.
22.Connes A., Marcolli M. (2008). Noncommutative Geometry, Quantum Fields and Motives. American Mathematical Society.
23.Gelfand I.M., Naimark M.A. (1943). On the imbedding of normed rings into the ring of operators in Hilbert space. Matematicheskii Sbornik, 12(2), 197-217.
24.Weyl H. (1950). The Theory of Groups and Quantum Mechanics. Dover.
25.Bender C.M., Boettcher S. (1998). Real spectra in non-Hermitian Hamiltonians having PT symmetry. Physical Review Letters, 80(24), 5243-5246.
26.Bender C.M. (2007). Making sense of non-Hermitian Hamiltonians. Reports on Progress in Physics, 70(6), 947-1018.
27.Moiseyev N. (2011). Non-Hermitian Quantum Mechanics. Cambridge University Press.

Fractales, asymétries, ondelettes, analyse multifractale

28.Mandelbrot B.B. (1982). The Fractal Geometry of Nature. Freeman.
29.Falconer K. (2003). Fractal Geometry: Mathematical Foundations and Applications. Wiley.
30.Daubechies I. (1992). Ten Lectures on Wavelets. SIAM.
31.Mallat S. (2009). A Wavelet Tour of Signal Processing. Academic Press.
32.Arneodo A., Grasseau G., Holschneider M. (1988). Wavelet transform of multifractals. Physical Review Letters, 61(20), 2281-2284.

Équations maîtresses, processus stochastiques, Langevin

33.Gardiner C.W. (2009). Stochastic Methods: A Handbook for the Natural and Social Sciences (4th ed.). Springer.
34.Van Kampen N.G. (2007). Stochastic Processes in Physics and Chemistry. North-Holland.
35.Risken H. (1989). The Fokker-Planck Equation: Methods of Solution and Applications. Springer.
36.Øksendal B. (2003). Stochastic Differential Equations: An Introduction with Applications. Springer.

Mécanique quantique, systèmes couplés, théorie de la mesure

37.Dirac P.A.M. (1928). The quantum theory of the electron. Proceedings of the Royal Society A, 117(778), 610-624.
38.Schiff L.I. (1968). Quantum Mechanics (3rd ed.). McGraw-Hill.
39.Merzbacher E. (1998). Quantum Mechanics. Wiley.
40.Messiah A. (1961). Quantum Mechanics. North-Holland.
41.von Neumann J. (1932). Mathematische Grundlagen der Quantenmechanik. Springer.
42.Nielsen M.A., Chuang I.L. (2010). Quantum Computation and Quantum Information. Cambridge University Press.

Relativité générale, trous noirs, cosmologie

43.Einstein A. (1915). Die Feldgleichungen der Gravitation. Sitzungsberichte der Preußischen Akademie der Wissenschaften, 844-847.
44.Schwarzschild K. (1916). Über das Gravitationsfeld eines Massenpunktes. Sitzungsberichte der Königlich Preußischen Akademie der Wissenschaften, 189-196.
45.Hawking S.W., Penrose R. (1970). The singularities of gravitational collapse and cosmology. Proceedings of the Royal Society A, 314(1519), 529-548.
46.Hawking S.W. (1975). Particle creation by black holes. Communications in Mathematical Physics, 43(3), 199-220.
47.Penrose R. (1969). Gravitational collapse: The role of general relativity. Nuovo Cimento, 1, 252-276.

48.Penrose R. (2010). Cycles of Time: An Extraordinary New View of the Universe. Bodley Head.
49.Steinhardt P.J., Turok N. (2007). Endless Universe: Beyond the Big Bang. Doubleday.
50.Guth A.H. (1981). Inflationary universe: A possible solution to the horizon and flatness problems. Physical Review D, 23(2), 347-356.
51.Linde A.D. (1982). A new inflationary universe scenario. Physics Letters B, 108(6), 389-393.
52.Planck Collaboration (2020). Planck 2018 results. Astronomy & Astrophysics, 641, A6.

Vitesses supraluminiques, ondes, matière noire

53.Einstein A. (1905). Zur Elektrodynamik bewegter Körper. Annalen der Physik, 322(10), 891-921.
54.Brillouin L. (1960). Wave Propagation and Group Velocity. Academic Press.
55.Gisin N. (2014). Quantum Chance: Nonlocality, Teleportation and Other Quantum Marvels. Springer.
56.Bertone G., Hooper D., Silk J. (2005). Particle dark matter: evidence, candidates and constraints. Physics Reports, 405(5-6), 279-390.

Chimie nucléaire, actinides, éléments lourds

57.Seaborg G.T., Loveland W.D. (1990). The Elements Beyond Uranium. Wiley.
58.Krane K.S. (1988). Introductory Nuclear Physics. Wiley.
59.Hyde E.K., Perlman I., Seaborg G.T. (1964). The Nuclear Properties of the Heavy Elements. Dover.
60.Burbidge E.M., Burbidge G.R., Fowler W.A., Hoyle F. (1957). Synthesis of the elements in stars. Reviews of Modern Physics, 29(4), 547-650.

Lois de puissance, distributions, séries infinies

61.Newman M.E.J. (2005). Power laws, Pareto distributions and Zipf's law. Contemporary Physics, 46(5), 323-351.
62.Clauset A., Shalizi C.R., Newman M.E.J. (2009). Power-law distributions in empirical data. SIAM Review, 51(4), 661-703.

63.Knopp K. (1951). Theory and Application of Infinite Series. Dover.

Théorie des groupes, symétries, arbres modulaires

64.Serre J.P. (1977). Linear Representations of Finite Groups. Springer.
65.Hamermesh M. (1962). Group Theory and Its Application to Physical Problems. Addison-Wesley.
66.Kostrikin A.I. (1982). Introduction to Algebra. Springer.

Méthodes numériques, Python, Wolfram

67.Langtangen H.P. (2016). A Primer on Scientific Programming with Python (5th ed.). Springer.
68.Press W.H., Teukolsky S.A., Vetterling W.T., Flannery B.P. (2007). Numerical Recipes: The Art of Scientific Computing (3rd ed.). Cambridge University Press.
69.Wolfram S. (1999). The Mathematica Book (4th ed.). Wolfram Media/Cambridge University Press.
70.Virtanen P. et al. (2020). SciPy 1.0: Fundamental algorithms for scientific computing in Python. Nature Methods, 17, 261-272.
71.Hunter J.D. (2007). Matplotlib: A 2D graphics environment. Computing in Science & Engineering, 9(3), 90-95.

Philosophie de la physique, épistémologie, temps

72.Rovelli C. (2018). L’Ordre du temps. Flammarion.
73.Smolin L. (2013). Time Reborn: From the Crisis in Physics to the Future of the Universe. Houghton Mifflin Harcourt.
74.Luminet J.P. (2016). L’Univers chiffonné. Fayard.
75.Reeves H. (1981). Patience dans l’azur – L’évolution cosmique. Seuil.
76.Prantzos N. (2009). Notre place dans l’Univers – De la préhistoire à nos jours. CNRS Éditions.
77.Thorne K.S., Blandford R.D. (2017). Modern Classical Physics. Princeton University Press.

78.Hawking S.W., Ellis G.F.R. (1973). The Large Scale Structure of Space-Time. Cambridge University Press.